

REMOÇÃO DE CHUMBO(II) EM SISTEMAS CONTÍNUOS POR CARVÃO ATIVADO COM VAPOR

Cristiane Imenes de Campos Bueno Zanin e Flávia Camargo Alves Figueiredo

Faculdade de Engenharia Química, Universidade Estadual de Campinas, CP 6066, 13083-970 Campinas – SP, Brasil

Wagner Alves Carvalho\*

Centro de Ciências Naturais e Humanas, Universidade Federal do ABC, Rua Santa Adélia, 166, 09210-170 Santo André – SP, Brasil

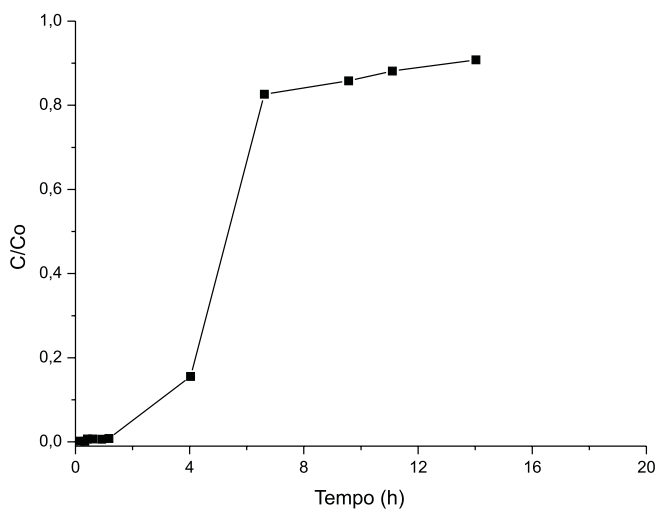


Figura 1S. Curva de ruptura para adsorção de Pb(II) 100 mg L<sup>-1</sup> com 0,3 g de carvão

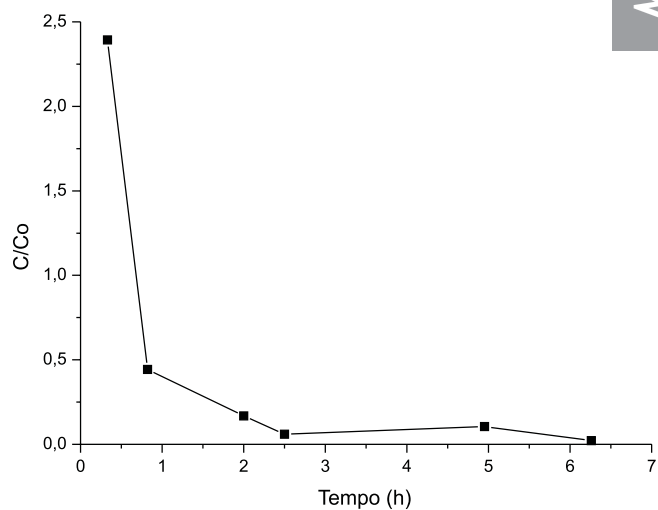


Figura 2S. Curva de ruptura para dessorção de Pb(II) 100 mg L<sup>-1</sup> com 0,3 g de carvão

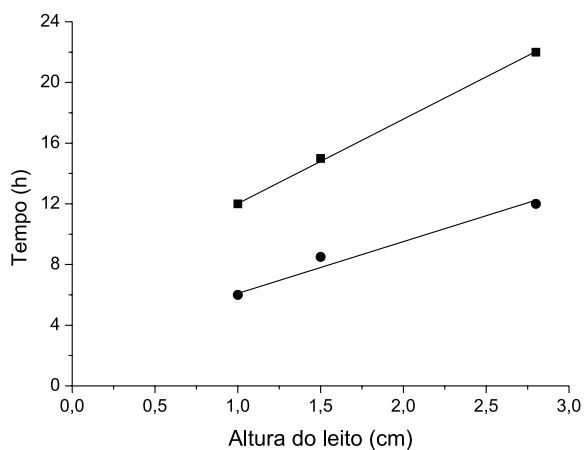


Figura 3S. Profundidade da coluna em função do tempo de serviço para concentração inicial de Pb(II) 10 mg L<sup>-1</sup>: (■) C/C<sub>0</sub> = 0,5, (○) C<sub>B</sub> = 0,5 mg L<sup>-1</sup>

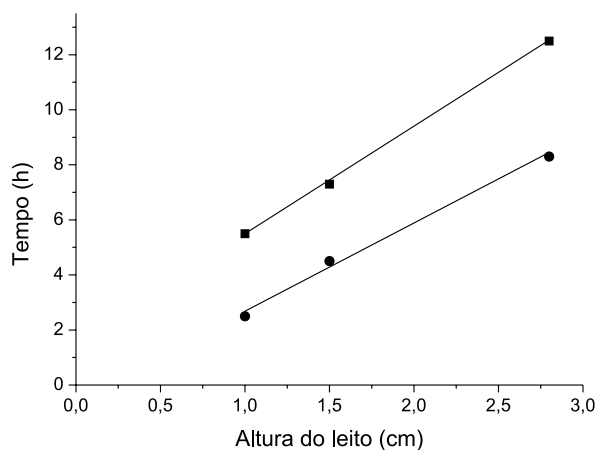
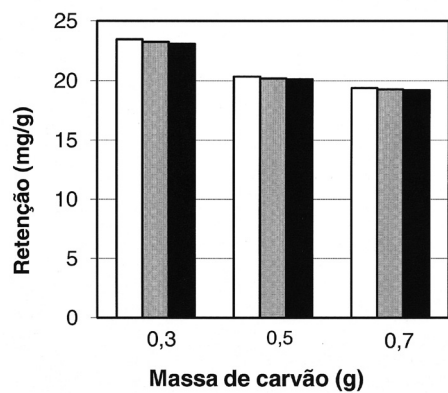
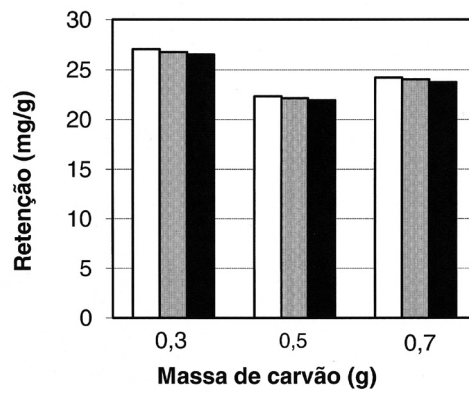


Figura 4S. Profundidade da coluna em função do tempo de serviço para concentração inicial de Pb(II) 20 mg L<sup>-1</sup>: (■) C/C<sub>0</sub> = 0,5, (○) C<sub>B</sub> = 0,5 mg L<sup>-1</sup>



**Figura 5S.** Capacidade máxima de adsorção para a concentração inicial de Pb(II) de 10 mg L<sup>-1</sup> nos três ciclos adsorção-dessorção (1º. branco, 2º. cinza, 3º. preto)



**Figura 6S.** Capacidade máxima de adsorção para a concentração inicial de Pb(II) de 20 mg L<sup>-1</sup> nos três ciclos adsorção-dessorção (1º. branco, 2º. cinza, 3º. preto)